

**П.Н.ДЕМИДОВ**, аспирант, НТУ «ХПИ»;  
**А.И.ТРУБАЕВ**, канд. техн. наук, доцент, НТУ «ХПИ»

## ПРОГНОЗИРОВАНИЕ ОСТАТОЧНОГО РЕСУРСА ТРУБОПРОВОДОВ С УЧЕТОМ ЭРОЗИОННО- КОРРОЗИОННОГО ИЗНОСА

У роботі досліджувався вплив ерозійно-корозійного зносу на спектр власних частот трубопроводу. Запропонована методика оцінки залишкового ресурсу трубопроводу, заснована на аналізі власних частот системи.

In this work investigated the effect of erosion-corrosion wear on natural frequencies of the pipeline. A method is proposed estimates the residual life of the pipeline, based on an analysis of the natural frequencies of the system.

В работе исследовалось влияние эрозионно-коррозионного износа на спектр собственных частот трубопровода. Предложена методика оценки остаточного ресурса трубопровода, основанная на анализе собственных частот системы.

### Введение

Эрозионно-коррозионному износу (ЭКИ) подвержены практически все трубопроводные системы АЭС. До недавнего времени в нашей стране не достаточно внимания уделялось проблеме ЭКИ трубопроводов, что приводило к ухудшению экономических показателей атомных электростанций [1].

Анализ зарубежной и отечественной литературы по данной тематике показывает, что не существует единых стандартов для протоколов замера толщин стенок различных трубопроводных систем. Это затрудняет обобщение и обработку результатов замеров, произведенных на различных АЭС [1]. В настоящее время во многих странах разработаны компьютерные программы по определению ЭКИ. Эти программы составлены с использованием результатов стендовых испытаний. В опубликованных работах приводится недостаточно данных о характере ЭКИ натурных трубопроводов АЭС, что затрудняет разработку мероприятий по борьбе с ЭКИ.

Процесс эрозии приводит к уменьшению толщины стенок трубопровода, что, в свою очередь, изменяет жесткостные и инерционные характеристики конструкции. В связи с этим в настоящей работе предлагается методика оценки остаточного ресурса трубопровода, основанная на анализе собственных частот системы и включающая следующие этапы:

- Исследование спектра собственных частот трубопровода в начале эксплуатации трубопроводной системы;
- Определение характеристик ЭКИ;
- Построение диаграмм для определения остаточного ресурса;
- Экспериментальное определение собственных частот трубопровода через  $n$  лет эксплуатации и прогнозирование остаточного ресурса.

## 1 Характеристики ЭКИ

Как показывают исследования, влияние различных факторов на коррозионно-эрэозионный износ ( $\delta$ ) можно описать следующей зависимостью [1]:

$$\delta = K_c \cdot f_1(w, T, h) \cdot f_2(pH) \cdot f_3(O_2) \cdot f_4(t). \quad (1)$$

По этой зависимости основными факторами являются следующие:  $K_c$  – коэффициент геометрии (Келлера),  $w$  – скорость рабочей среды,  $T$  – температура рабочей среды,  $pH$  – величина кислотности рабочего тела,  $O_2$  – содержание кислорода в потоке,  $h$  – конструкция трубопровода,  $t$  – продолжительность эксплуатации.

Влияние скорости потока на износ стенок трубопровода описывается линейным законом, причем, чем меньше легирующих добавок в используемом металле, тем сильнее вымывание металла. Данный показатель для исследованных материалов в интервале скоростей от 5 до 40 м/с составляет примерно 3-3000 мг/(см<sup>2</sup>ч) [1].

Влияние температуры на износ при эрозионно-коррозионных процессах описывается параболической зависимостью. Наибольший износ стенок трубопровода возникает при температурах, находящихся в диапазоне 140-160 °С. При этом прослеживается такая зависимость, что и для влияния скорости потока, а именно, чем ниже качество стали, тем большее влияние вносит температурный фактор на износ стенок трубопроводов.

В данной работе закон изменения толщины стенок трубопровода определяется по результатам замеров, проведенных на Южноукраинской АЭС. Предлагается кусочно-постоянная зависимость толщины стенок от времени эксплуатации. Согласно экспериментальным данным, максимальный износ наблюдается в области криволинейных фрагментов, где возникают локальные дефекты и происходит глобальное утонение стенок. Кроме того, имеет место утонение прямолинейных участков трубопровода.

Толщину стенки трубопровода при активной эрозии рекомендуется определять по зависимости [1]:

$$h_i = h_0 - \delta, \quad (2)$$

где  $\delta = a_i t$ ,  $h_0$  – толщина стенки в начальный момент времени;  $a_i$  – скорость эрозионного износа для прямолинейных ( $i = 1$ ) и криволинейных ( $i = 2$ ) участков;  $t$  – число лет эксплуатации трубопровода.

На рис. 1 представлен фрагмент трубопровода первого контура энергостанции. Внешний диаметр трубы составляет 0,325 м, толщина стенок – 0,013 м. Ранее было получено, что влияние локальных дефектов на спектр собственных частот является несущественным [2]. В связи с этим в данной работе исследуется влияние глобального утонения стенок вследствие ЭКИ на спектр собственных частот.

Для рассматриваемого трубопровода приняты следующие значения параметров соотношения (2):  $a_1 = 0,1 \cdot 10^{-3}$  м/год,  $a_2 = 0,3 \cdot 10^{-3}$  м/год,  $h_0 = 0,013$  м.

## 2 Анализ собственных колебаний системы

Для трубопроводной системы, представленной на рис. 1, методом конечных элементов (МКЭ) найдены собственные частоты при различной степени деградации материала. Значения этих частот ( $f_{M1}$ ) приведены в табл. 1. В качестве конечного элемента (КЭ) использовался элемент тонкой оболочки, содержащий 20 узлов и имеющий по 6 степеней свободы в каждом узле. В качестве граничных условий использовалось жесткое защемление на краях трубопровода. КЭ модель содержала 3533 элемента.

Для проверки сходимости численного решения получены собственные частоты той же системы (табл. 1,  $f_{M2}$ ), но с увеличенным количеством конечных элементов (24132). В табл. 1 также представлены значения относительных погрешностей определения собственных частот ( $\Delta f$ ).

Таблица 1 – Значения собственных частот фрагмента трубопровода в зависимости от времени эксплуатации и их погрешности

Годы эксплуатации	$h \cdot 10^3$ (м)		Номер собственной частоты					
			1	2	3	5	9	10
1	13	$f_{M1}$	1,94	3,09	3,82	7,22	18,64	21,41
		$f_{M2}$	1,93	3,08	3,81	7,2	18,63	21,39
		$\Delta f$	0,5	0,3	0,3	0,3	0,1	0,1
2	12,7	$f_{M1}$	1,92	3,06	3,79	7,16	18,51	21,18
		$f_{M2}$	1,91	3,05	3,78	7,13	18,5	21,16
		$\Delta f$	0,5	0,3	0,3	0,4	0,1	0,1
3	12,4	$f_{M1}$	1,9	3,02	3,76	7,09	18,38	20,95
		$f_{M2}$	1,89	3,01	3,75	7,07	18,36	20,93
		$\Delta f$	0,5	0,3	0,3	0,3	0,1	0,1
10	10,3	$f_{M1}$	1,74	2,78	3,52	6,59	17,43	19,29
		$f_{M2}$	1,74	2,77	3,51	6,57	17,41	19,27
		$\Delta f$	0	0,4	0,3	0,3	0,1	0,1
19	7,6	$f_{M1}$	1,52	2,43	3,17	5,9	16,15	17,13
		$f_{M2}$	1,52	2,42	3,15	5,87	16,13	17,1
		$\Delta f$	0	0,4	0,6	0,5	0,1	0,2
20	7,3	$f_{M1}$	1,5	2,39	3,12	5,82	16	16,9
		$f_{M2}$	1,49	2,38	3,11	5,79	15,99	16,87
		$\Delta f$	0,7	0,4	0,3	0,5	0,1	0,2

Как видно из табл. 1, значения относительных погрешностей при определении собственных частот при сгущении КЭ сетки не превышают 0,7 %, что свидетельствует о приемлемости используемых КЭ моделей. В табл. 2 и на рис. 2 приведены значения относительных изменений собственных частот трубопровода в зависимости от толщины стенок ( $h$ ).

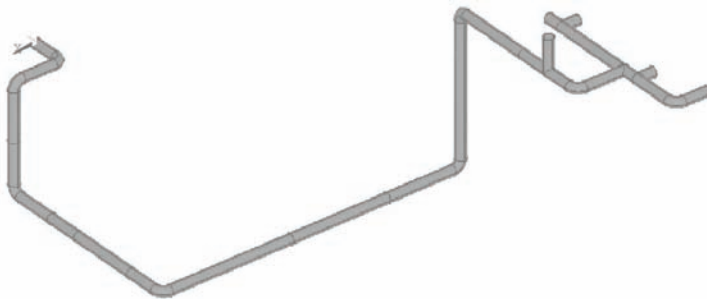


Рисунок 1 – Фрагмент трубопровода

Таблица 2 – Относительное изменение собственных частот трубопровода при утонении стенок (%)

$h \cdot 10^3$ , (м)	Номер собственной частоты									
	1	2	3	4	5	6	7	8	9	10
12,7	1	1	0,8	1,4	0,8	1,1	0,6	0,9	0,7	1,1
12,4	2,1	2,3	1,6	2,5	1,8	2,3	1,3	1,7	1,4	2,2
12,1	3,6	3,2	2,4	3,7	2,8	3,4	1,9	2,6	2,2	3,2
10	11,3	11,3	8,9	12,8	9,7	12,1	6,4	9	7,2	11
7,6	21,7	21,4	17	24,2	18,3	22,9	12,1	17,6	13,4	20
7,3	22,7	22,7	18,3	25,5	19,4	24,3	13	18,7	14,2	21,1

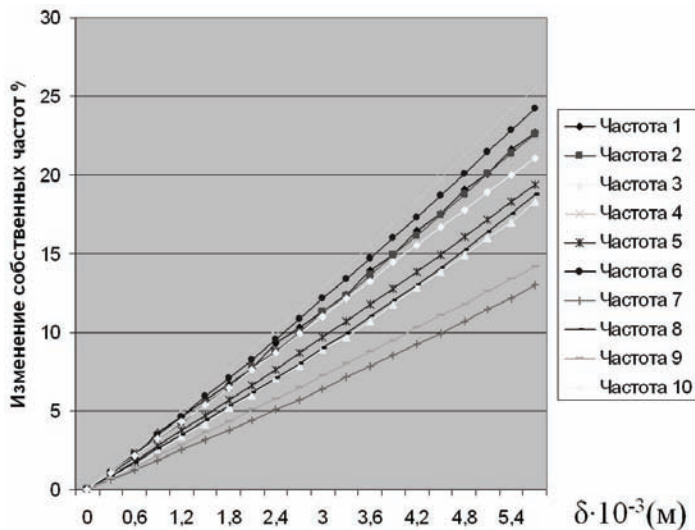


Рисунок 2 – Зависимость относительных изменений собственных частот от величины износа трубопровода

Как видно из табл. 2 и рис. 2, через 20 лет эксплуатации трубопровода величина относительных изменений его первых десяти собственных частот по сравнению с их начальными значениями составляет от 13 % до 26 %. Таким образом, если через определенные периоды эксплуатации экспериментально определять собственные частоты трубопроводной системы, то можно судить о степени ЭКИ по изменению этих частот.

### **3 Результаты расчета напряженно-деформированного состояния трубопроводной системы**

Максимальное значение давления в системе для установившегося режима составляет 7 МПа, а в момент пуска электростанции достигает 20 МПа. Режим нагружения – 10 пусков в год. Для трубопровода (рис. 1) при значении давления 20 МПа решена задача определения статического напряженно-деформированного состояния (НДС) с учетом локального дефекта в криволинейном фрагменте трубопровода и глобального утонения стенок на 14 году эксплуатации. Как показывают численные расчеты [3], максимальные напряжения наблюдаются в области криволинейных фрагментов в месте наибольшего утонения стенок (рис. 3, *a*, *б*). Коэффициент концентрации напряжений  $\alpha_\sigma$  определяется как отношение максимального значения напряжений в конструкции к величине номинальных напряжений. В качестве номинального значения используется наблюдаемое вдали от концентратора напряжение. На рис. 4 представлено сечение трубопровода в области локального дефекта.  $N = 1 \div 9$  – номер точки, в которой определяется напряжение.

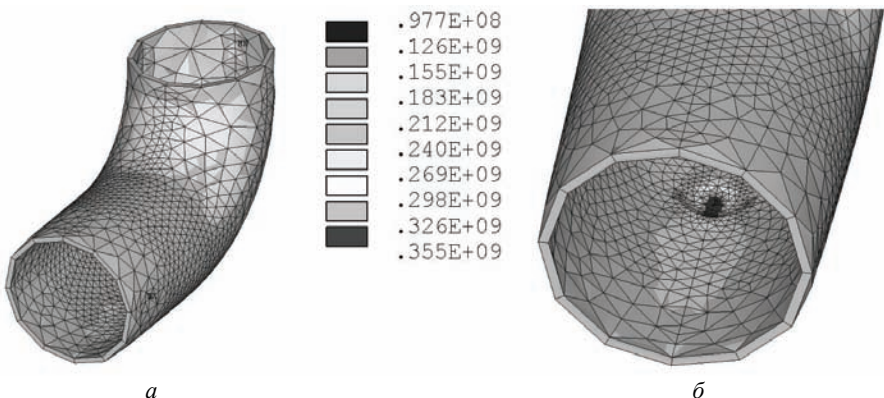


Рисунок 3 – Напряженное состояние в криволинейном фрагменте трубопровода: *а* – общий вид; *б* – напряжения в области дефекта

На рис. 5 представлены графики изменения эквивалентных напряжений по Мизесу в поперечном сечении трубопровода, проходящем через точку № 5 (рис. 4), где имеет место максимум напряжений. Рис. 5, *а* соответствует модели с глубиной дефекта 0,4 мм, а рис 5, *б* – модели с глубиной дефекта

4,3 мм. Максимальное напряжение за период со 2-го по 14-й год эксплуатации увеличилось на 24 %.

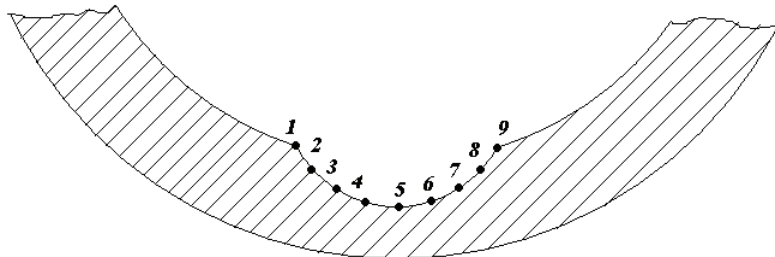


Рисунок 4 – Сечение трубопровода в области локального дефекта

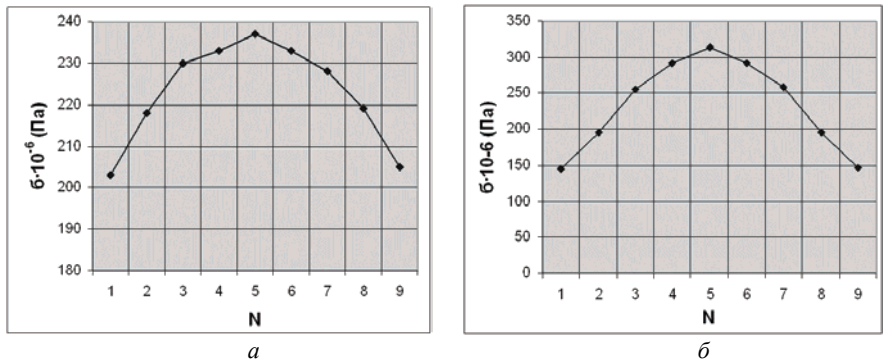


Рисунок 5 – Распределение напряжений в области дефекта

#### 4 Прогнозирование остаточного ресурса

Для прогнозирования остаточного ресурса трубопровода, подверженного ЭКИ и содержащего локальные дефекты, рассматривается линейная модель накопления усталостных повреждений [4]:

$$\frac{dz}{dt} = \frac{\sigma_a^m(t)}{T\sigma_{-1k}^m N_0}, \quad (3)$$

где  $\sigma_{-1k}$ ,  $N_0$ ,  $m$  – параметры кривой усталости;  $T$  – эффективный период нагружения;  $\sigma_a(t)$  – эквивалентная амплитуда напряжений в опасной зоне, подверженной эрозионно-коррозионному износу.

Так как используется кусочно-постоянная аппроксимация зависимости толщины стенок трубопровода от времени, то соотношение (3) для  $i$ -го периода эксплуатации записывается в следующем виде:

$$z_i = N_i \frac{\sigma_{ai}^m}{\sigma_{-1ki}^m N_0}, \quad (i = \overline{1, n}). \quad (4)$$

Здесь  $\sigma_{-1ki}$  – предел выносливости детали конструкции для  $i$ -го периода

эксплуатации,  $\sigma_{ai}$  – максимальное напряжение в элементе трубопровода,  $n$  – количество периодов эксплуатации. Для упрощения записи индекс  $i$  отбросим.

Предел выносливости детали определяется из следующего соотношения [5]:

$$\sigma_{-1k} = \sigma_{-1}/K_{\sigma D}. \quad (5)$$

Здесь  $\sigma_{-1}$  – предел выносливости стандартного образца, а  $K_{\sigma D}$  – коэффициент пропорциональности – определяется по следующей формуле:

$$K_{\sigma D} = \alpha_{\sigma} \sqrt{0,5 \left[ 1 + \left( \frac{1}{88,3} \frac{L}{G} \right)^{-\nu\sigma} \right] + \frac{1}{\beta} - 1}, \quad (6)$$

где  $L$  – периметр сечения, в котором наблюдается концентрация напряжений,  $\alpha_{\sigma}$  – коэффициент концентрации,  $\beta$  – коэффициент, зависящий от материала,  $G$  – градиент максимальных напряжений:

$$G = \frac{1}{\sigma_{\max}} \frac{\sigma_{\max} - \sigma}{a - a_0}. \quad (7)$$

Здесь  $\sigma_{\max}$  – максимальное напряжение в области концентрации,  $\sigma$  – значение напряжения в точке, находящейся на малом расстоянии от точки с максимальным напряжением,  $a - a_0$  – расстояние между точками, в которых находятся напряжения.

Зная предел выносливости элемента трубопровода, можно найти повреждаемость. Число циклов до разрушения на  $i$ -м периоде эксплуатации определяется из следующего соотношения, куда снова возвращается индекс  $i$ :

$$N_{0i} = N_0 \sigma_{-1ki}^m / \sigma_{ai}^m, \quad (8)$$

где  $N_0 = 2 \cdot 10^6$ .

Повреждаемость на  $i$ -м периоде эксплуатации будет находиться согласно следующей формуле:

$$a_i = N_i / N_{0i}. \quad (9)$$

В дальнейшем предполагается, что все периоды эксплуатации имеют продолжительность, равную 1 году. Для  $k$  пусков суммарная повреждаемость при линейной гипотезе будет выражаться следующей зависимостью:

$$a_k = \sum_{i=1}^k a_i = \sum_{i=1}^k N_i / N_{0i}. \quad (10)$$

Остаточный ресурс трубопровода определяется через запас по повреждаемости  $z = 1 - a_k$  и среднегодовую повреждаемость  $a_c = (1/N_0 + 1/N_{0k})/2$ .

Тогда остаточный ресурс трубопровода составит

$$r_{ocm} = z/a_c. \quad (11)$$

В табл. 3 и на рис. 6 представлена зависимость числа циклов до разрушения от степени ЭКИ трубопровода в области концентрации при 10 пусках энергоблока в год.

По изложенной выше методике с учетом значения предела выносливости материала  $\sigma_{-1} = 187$  МПа и зависимости числа циклов до разрушения от

степени ЭКИ (табл. 3, рис. 6) после 14 лет эксплуатации получены следующие результаты:

- запас по повреждаемости  $z = 0,1743$ ;
- среднегодовая повреждаемость  $a_c = 0,0144$ ;
- остаточный ресурс  $r_{ocm} \approx 12$  лет.

Таблица 3 – Зависимость числа циклов от глубины дефекта

№ года эксплуатации	$\delta$ , мм	$N_{0i}$ , циклов	№ года эксплуатации	$\delta$ , мм	$N_{0i}$ , циклов
1	0,4	354840	9	2,8	327
3	1,0	36282	11	3,4	81
5	1,6	7369	13	4,0	70
7	2,2	1953	14	4,3	35

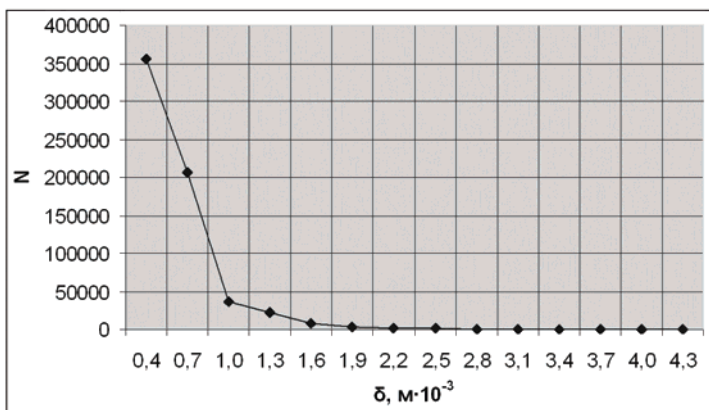


Рисунок 6 – Зависимость числа циклов до разрушения от степени ЭКИ

**Выводы.** Таким образом, предложена методика оценки остаточного ресурса трубопровода, базирующаяся на исследовании спектра собственных частот. Проведена оценка остаточного ресурса рассматриваемого трубопровода, который после 14 лет эксплуатации составил 12 лет.

**Список литературы:** 1. Полищук С.М., Манузин А.А. Анализ исследований эрозионно-коррозионного износа трубопроводов АЭС // Восточно-европейский журнал передовых технологий. – 2007. – 1/3(25). – С. 3–7. 2. Демидов П.Н., Трубаев А.И. Расчет собственных колебаний трубопроводов АЭС с учетом эрозионно-коррозионного износа // Энергосбережение. Энергетика. Энергоаудит. – октябрь 2009. – № 10 (68). 3. Демидов П.Н., Жовдак В.А., Кипоренко А.С., Локошко В.В., Полищук С.М., Трубаев А.И. Применение информационных технологий для прогнозирования остаточного ресурса трубопроводов АЭС // Динамика и прочность. 4. Болотин В.В. Прогнозирование ресурса машин и конструкций. – М.: Машиностроение, 1984. – 312 с. 5. Когаев В.П., Махутов Н.А., Гусенков А.П. Расчеты деталей машин и конструкций на прочность и долговечность: Справочник. – М.: Машиностроение, 1985. – 224 с.

Поступила в редакцию 6.10.2011